

# **RÉGIMES STATIONNAIRES À N DIMENSIONS**

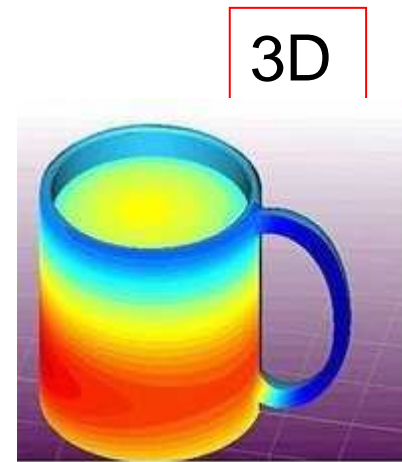
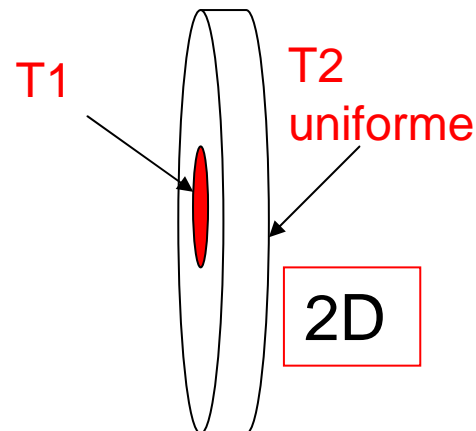
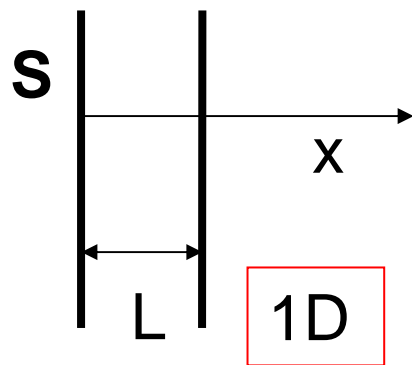
Jusque là, nous nous sommes intéressés à des problèmes de conduction stationnaires, mais uniquement 1D

Très souvent cette hypothèse 1D ne constitue qu'une grossière approximation.

Quelles méthodes pour aborder les problèmes 2 et 3 D ?

Voie **analytique**

Méthodes **numériques**



# I – Résolution par des méthodes de l'analyse mathématique

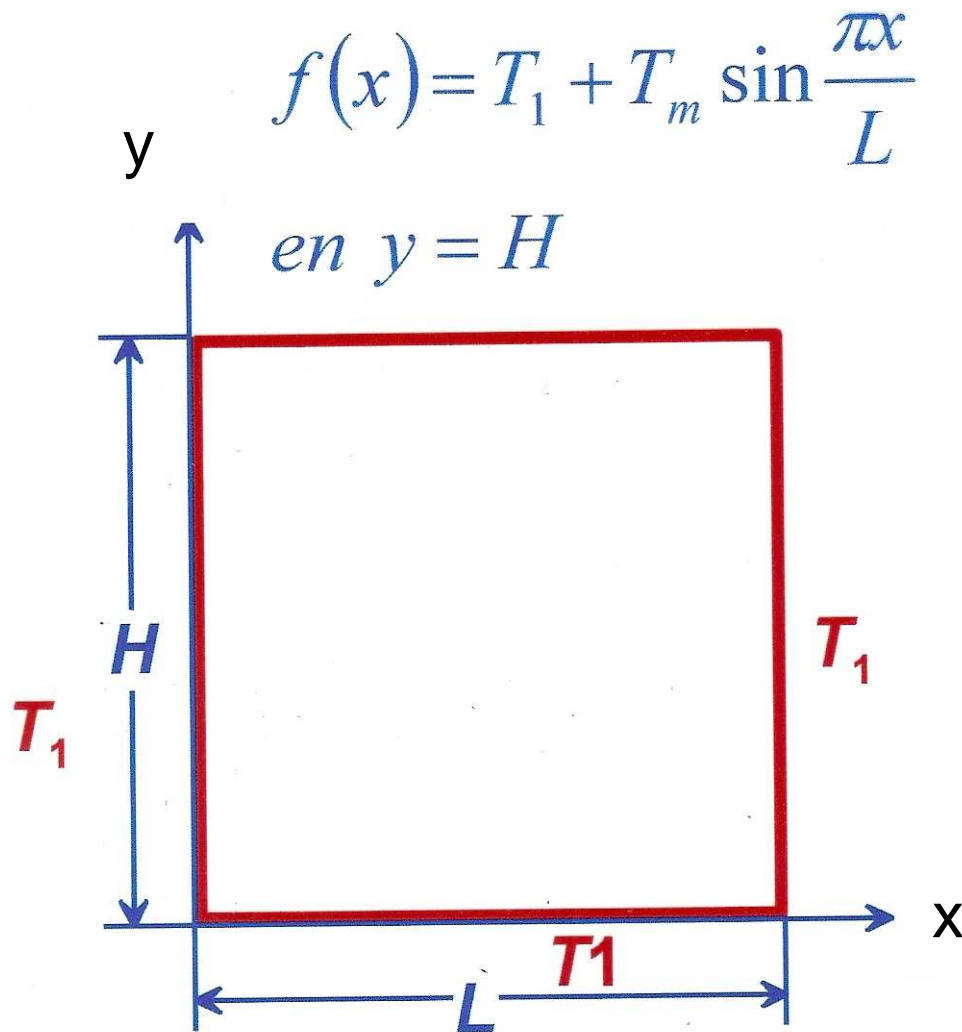
S'applique sur un nombre limité de cas

- Besoin de géométrie simples
- De conditions aux limites simples
- Nécessite un effort important

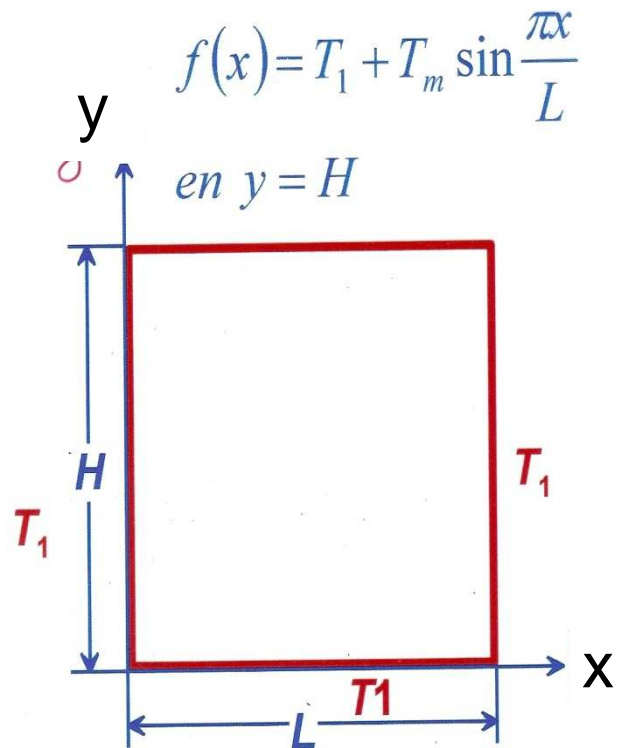
**Mais** fournit des solutions exactes pour valider les outils numériques

Des applications modernes **spécifiques**:

 Transformations intégrales (éléments de frontière)  
Théorème de Duhamel ( méthodes inverses)



Exemple  
de  
problème  
étudié



$$\frac{\partial^2 T}{\partial x^2} + \frac{\partial^2 T}{\partial y^2} = 0 \quad (1)$$

$$\left. \begin{aligned} T(x=0 \text{ ou } L) &= T_1 \\ T(y=0) &= T_1 \\ T(y=H) &= f(x) \end{aligned} \right\} \quad (2)$$

Méthode: **séparer les variables**  $x$  et  $y$ , c'est-à-dire rechercher  $T(x,y)$  sous la forme:

$$T(x,y) = X(x) * Y(y) \quad (3)$$

$$T(x, y) = X(x) * Y(y) \quad (3)$$

$$(1) \rightarrow \frac{\partial^2 T}{\partial x^2} = -\frac{\partial^2 T}{\partial y^2}$$

$$\Rightarrow Y \frac{d^2 X}{dx^2} = -X \frac{d^2 Y}{dy^2} \text{ , soit en divisant par } XY :$$

$$(1) \rightarrow -\frac{1}{X} \frac{d^2 X}{dx^2} = \frac{1}{Y} \frac{d^2 Y}{dy^2} \quad (4)$$

Or, X étant seulement fonction de x, et Y de y, cette équation :

$$-\frac{1}{X} \frac{d^2 X}{dx^2} = \frac{1}{Y} \frac{d^2 Y}{dy^2} \quad (4)$$

↘  
 $= \lambda^2$

ne peut être vérifiée que si :

$$\frac{d^2 X}{dx^2} = -\lambda^2 X$$

avec  $\lambda^2 > 0$      $< 0$     ou  $= 0$

$$\frac{d^2 Y}{dy^2} = \lambda^2 Y$$

1<sup>er</sup> cas :  $\lambda^2 = 0$

$$X'' = -\lambda^2 X$$

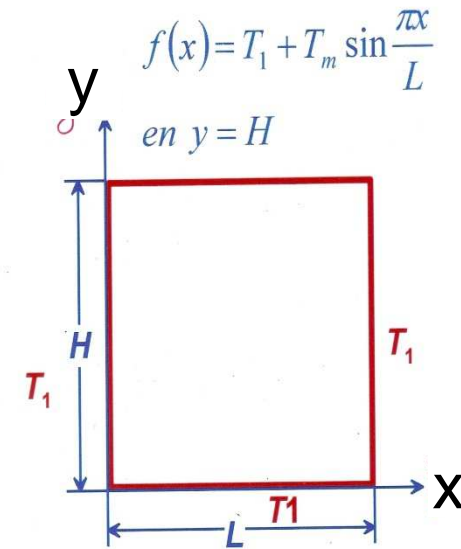
$$Y'' = \lambda^2 Y$$

$$X = (C_1 + C_2 x)$$

$$Y = (C_3 + C_4 y)$$

$$T = (C_1 + C_2 x)(C_3 + C_4 y)$$

Impossible en  $y = H$



Exclure cette solution !



2eme cas :  $\lambda^2 < 0$

$$X'' = -\lambda^2 X$$

$$X = C_5 e^{\lambda x} + C_6 e^{-\lambda x}$$

$$Y'' = \lambda^2 Y$$

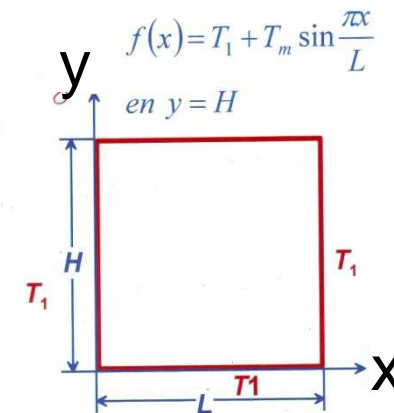
$$Y = C_7 \cos \lambda y + C_8 \sin \lambda y$$

$$T = (C_5 e^{\lambda x} + C_6 e^{-\lambda x})(C_7 \cos \lambda y + C_8 \sin \lambda y)$$

Mais, en  $y = H$ , on ne peut pas retrouver de condition en

$$\sin \frac{\pi x}{L}$$

➔ Exclure également ce cas



3eme cas :  $\lambda^2 > 0$

$$X'' = -\lambda^2 X$$

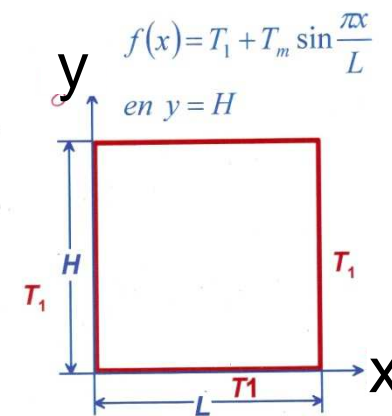
$$Y'' = \lambda^2 Y$$

$$X = C_9 \cos \lambda x + C_{10} \sin \lambda x$$

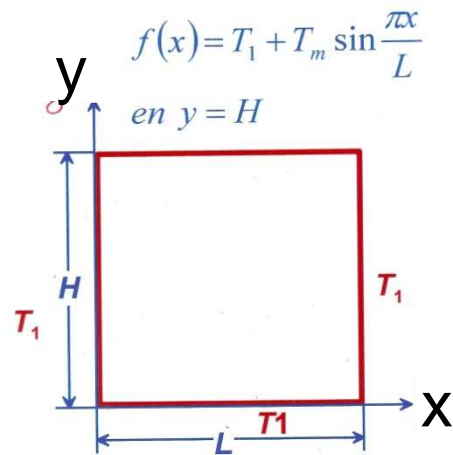
$$Y = C_{11} e^{\lambda y} + C_{12} e^{-\lambda y}$$

$$T = (C_9 \cos \lambda x + C_{10} \sin \lambda x)(C_{11} e^{\lambda y} + C_{12} e^{-\lambda y}) \quad (5)$$

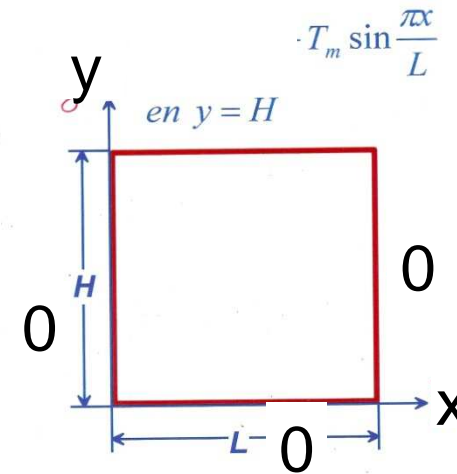
Ici, on a bon espoir de  
pouvoir retrouver une  
solution en  $\sin \frac{\pi x}{L}$   
 $y = H$



Posons  $\theta = T - T_1$



Conditions en  $T$



Conditions en  $\theta$

$T$  et  $\theta$  étant définies à une constante près admettent la même décomposition en  $X$  et  $Y$ , mais doivent vérifier leurs conditions aux limites spécifiques

$$\theta = (C_9 \cos \lambda x + C_{10} \sin \lambda x)(C_{11}e^{\lambda y} + C_{12}e^{-\lambda y})$$

$$\text{En } x = 0 \quad 0 = C_9 (C_{11}e^{\lambda y} + C_{12}e^{-\lambda y}) \quad (6)$$

$$\text{En } x = L \quad 0 = (C_9 \cos \lambda L + C_{10} \sin \lambda L)(C_{11}e^{\lambda y} + C_{12}e^{-\lambda y}) \quad (7)$$

$$\text{En } y = 0 \quad 0 = (C_9 \cos \lambda x + C_{10} \sin \lambda x)(C_{11} + C_{12}) \quad (8)$$

$$(6) \rightarrow C_9 = 0$$

$$(8) \rightarrow C_{11} = -C_{12}$$

et (7) devient :  $0 = C_{10} C_{11} \sin (\lambda L) (e^{\lambda y} - e^{-\lambda y})$ , laquelle implique:

$$\sin (\lambda L) = 0, \text{ dont la solution est : } \lambda_n = \frac{n\pi}{L} \quad n \in \mathbb{N}$$

Conclusion : solution en  $\theta$

$$C \sin \frac{n\pi}{L} x \operatorname{sh} \frac{n\pi}{L} y$$

Le problème est linéaire et si  $C \sin \frac{n\pi}{L} x \operatorname{sh} \frac{n\pi}{L} y$  est solution,

$$\theta = \sum_{n=1}^{\infty} C_n \sin \frac{n\pi}{L} x \operatorname{sh} \frac{n\pi}{L} y \quad \text{l'est aussi}$$

La dernière condition à la limite en  $y = H$  devient alors:

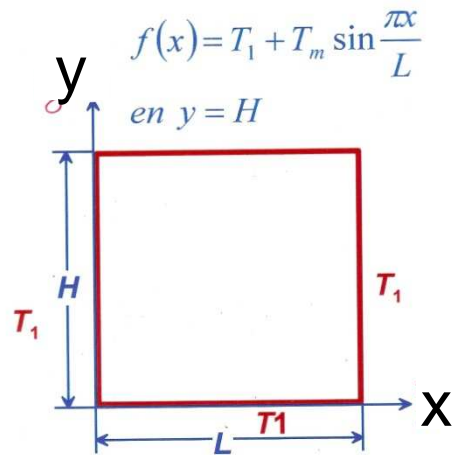
$$T_m \sin \frac{\pi x}{L} = \sum_{n=1}^{\infty} C_n \sin \frac{n\pi}{L} x \operatorname{sh} \frac{n\pi}{L} H$$

Elle impose  $C_n = 0$  pour  $n > 1$ , et :

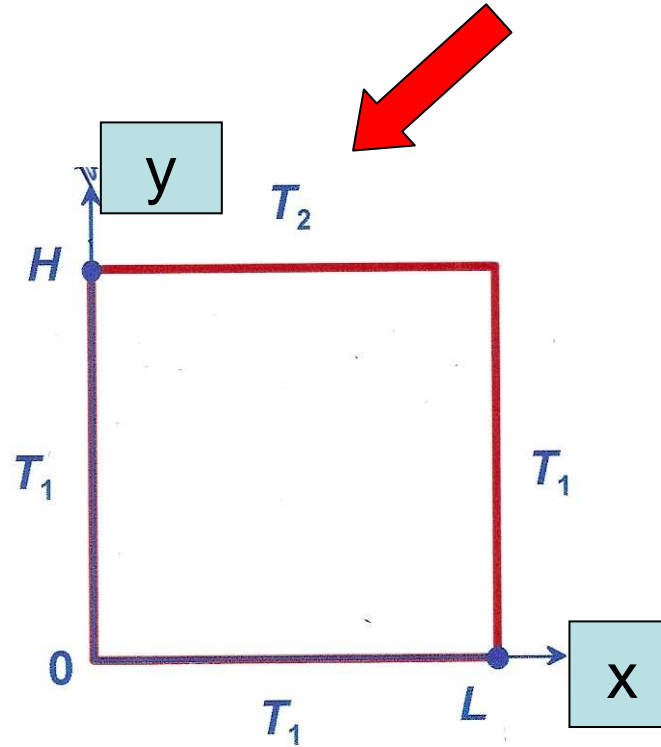
$$C_1 = \frac{T_m}{\operatorname{sh} \frac{\pi H}{L}}$$

D'où la solution de notre problème (  $n= 1 : 1$  seul terme)

$$T(x, y) = T_1 + T_m \frac{\frac{\text{sh} \frac{\pi y}{L}}{\frac{\pi H}{L}} \sin \frac{\pi x}{L}}{\frac{\text{sh} \frac{\pi H}{L}}{\frac{\pi H}{L}}}$$



## Cas Particulier



La solution générale demeure de la forme:

$$T - T_1 = \sum_n C_n \sin \frac{n\pi x}{L} \operatorname{sh} \frac{n\pi y}{L}$$

La quatrième condition aux limites, en  $Y = H$  s'écrit :

$$T_2 - T_1 = \sum_{n=1}^{\infty} C_n \sin \frac{n\pi x}{L} \operatorname{sh} \frac{n\pi H}{L}$$

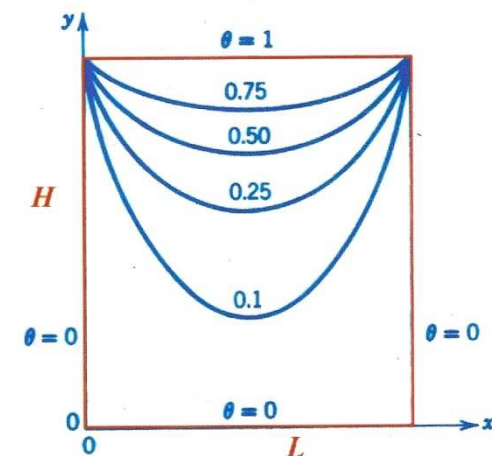
L'obtention de  $C_n$  passe par un calcul classique en termes de séries de Fourier et l'on obtient:

$$T - T_1 = (T_2 - T_1) \left( \frac{2}{\pi} \right) \left( \sum_{n=1}^{\infty} \frac{(-1)^n + 1}{n} \sin \frac{n\pi x}{L} \frac{\operatorname{sh} \frac{n\pi y}{L}}{\operatorname{sh} \frac{n\pi H}{L}} \right)$$

$$\Theta = \frac{T - T_1}{T_2 - T_1}$$



### Isothermes





## En Résumé

Problème aux valeurs propres (VP)

$$\sin(\lambda L) = 0$$

$$\lambda_n = \frac{n\pi}{L} \quad n \in \mathbb{N}$$

Obtention des fonctions propres (FP)

$$C \sin \frac{n\pi}{L} x \operatorname{sh} \frac{n\pi}{L} y$$

Recherche de la solution sur la base des FP qui sont orthogonales

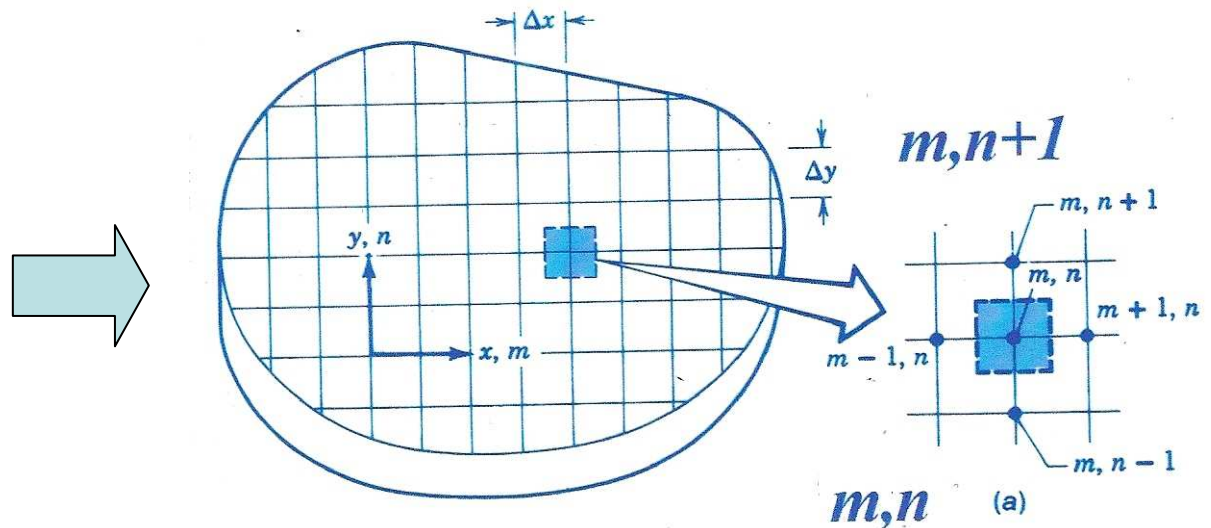
$$\theta = \sum_{n=1}^{\infty} C_n \sin \frac{n\pi}{L} x \operatorname{sh} \frac{n\pi}{L} y$$

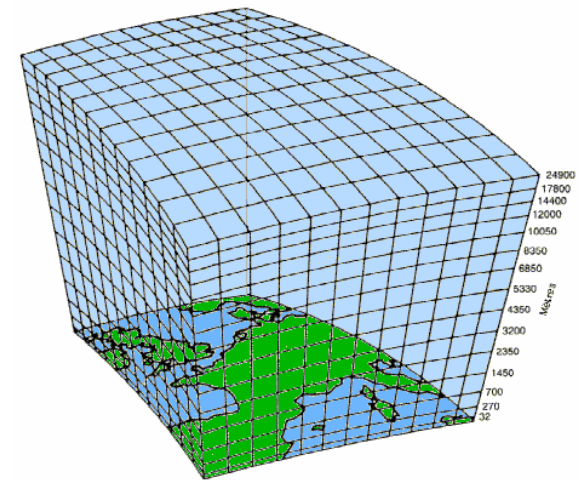
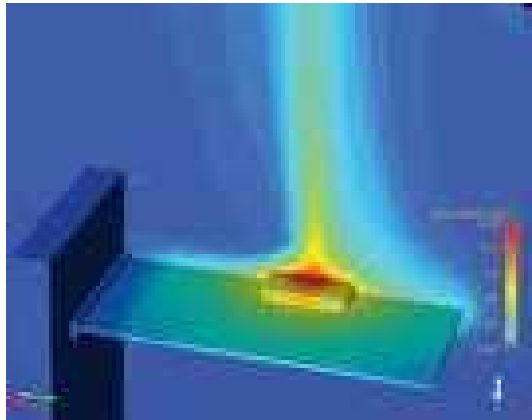
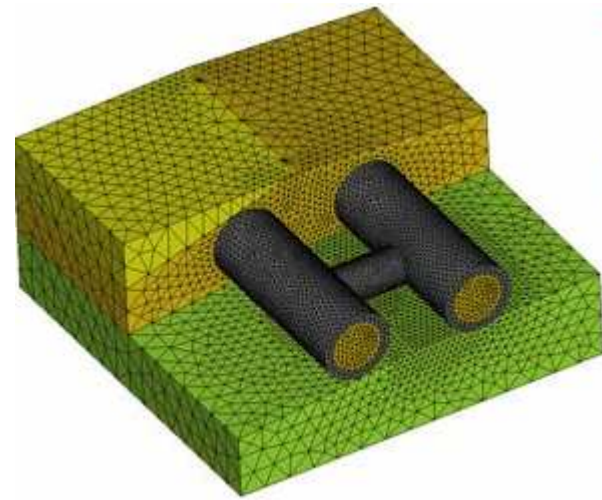
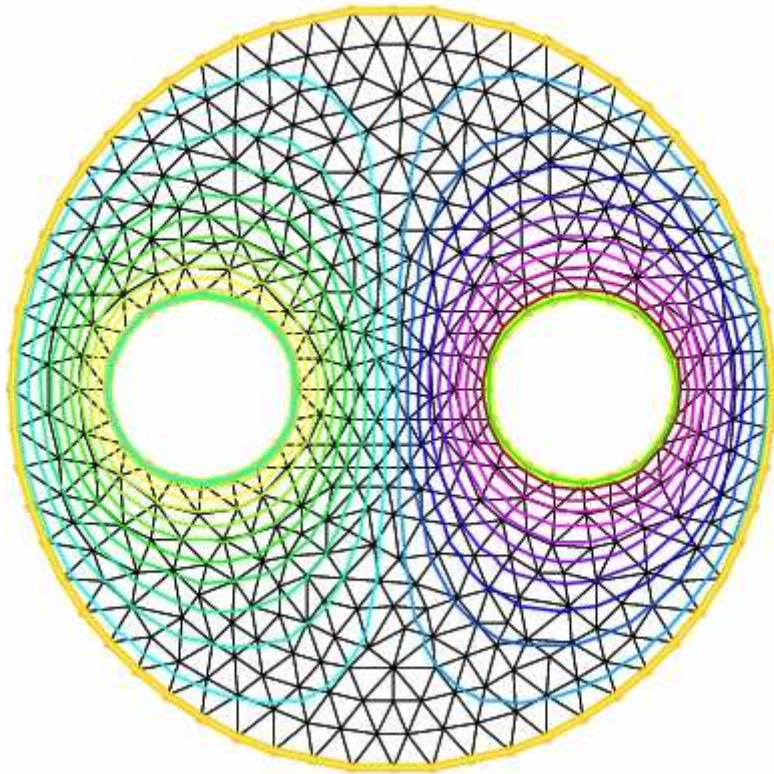
Coefficients  $C_n$ : série de Fourier

## II – Méthodes numériques discrètes

Applicables aux problèmes multidimensionnels,  
en régime stationnaire ou transitoire,  
avec tous types de conditions aux limites,  
aux géométries complexes,  
elles consistent toutes à ne rechercher le champ de  
température qu'en un nombre discret de points.

Idée d'un  
maillage de  
points





## Remarques

Nous aborderons dans cette leçon les problèmes **stationnaires**

Nous exposons tout d'abord le principe des **différences finies**.

Puis nous présenterons la méthode de **l'équation de bilan** qui est l'amorce de la **méthode nodale** que nous verrons à la fin du cours.

Ces méthodes sont destinées à être exploitées sur ordinateur et fournissent des solutions approchées

D'où vient leur **caractère approché** ?

- 1) De ce que le problème discret n'est qu'une représentation du problème initial (influence de la taille du maillage)
- 2) De ce que, même pour le problème discrétisé, on n'obtient, en général qu'une solution numérique approchée

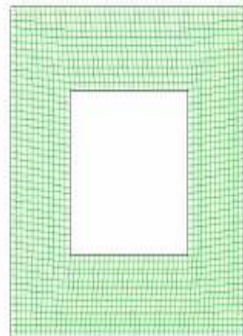
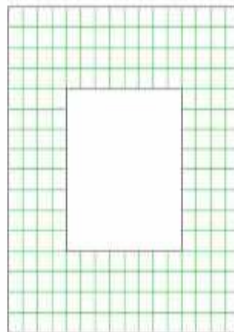
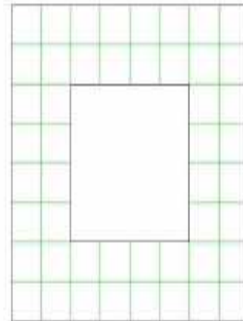
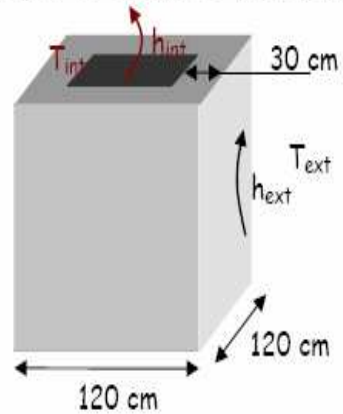
La **précision** du calcul dépend fortement du nombre de nœuds du maillage

Un **maillage grossier** permet des calculs à la main, mais offre une faible précision de calculs

Si l'on dispose d'un ordinateur, on n'hésitera pas à **augmenter la taille du maillage**, pour aller vers une meilleure précision

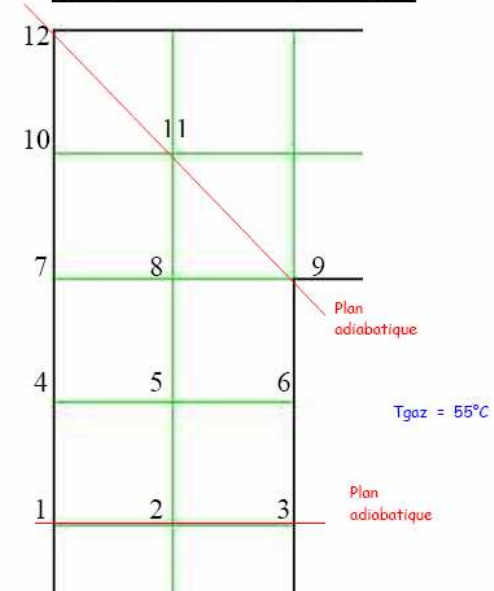
## Cas de Conduction stationnaire

Objectif : Calcul du champ de températures et du flux de chaleur transféré



$T_{ext} = 0^\circ\text{C}$

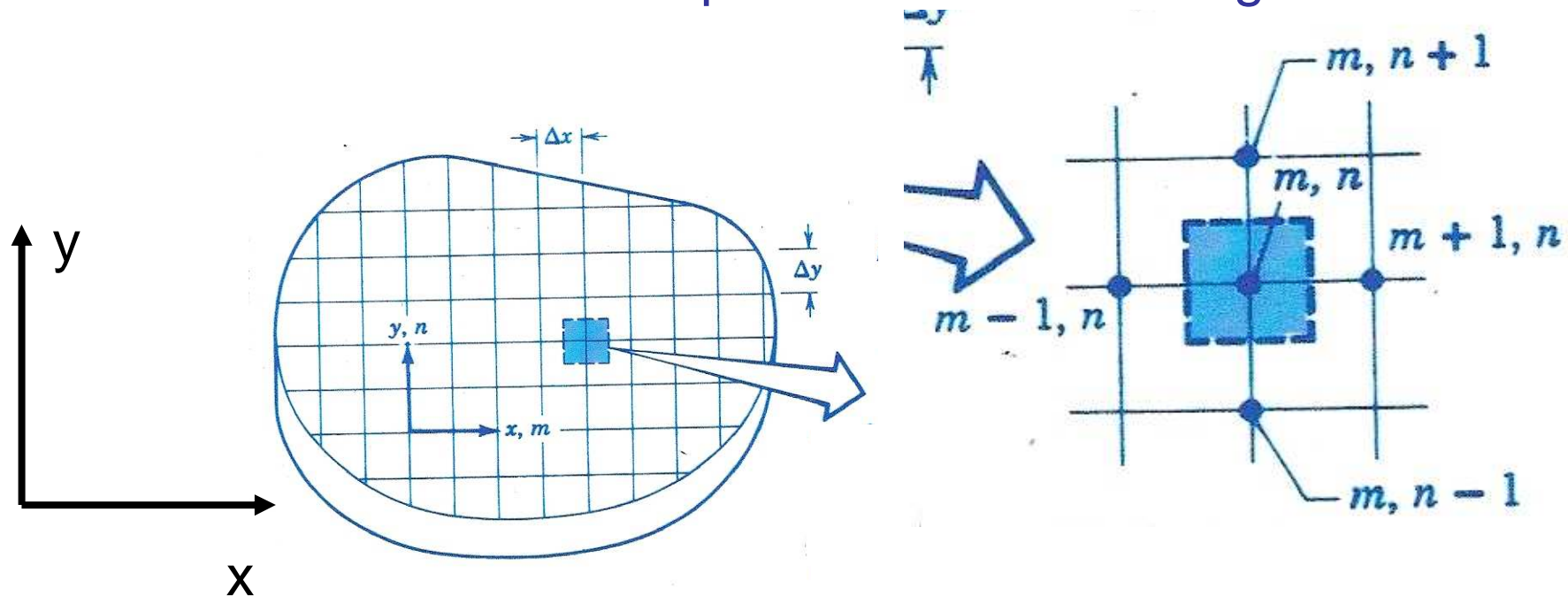
Motif élémentaire à 12 mailles





## II – 1 Le maillage

A la différence des solutions analytiques, ces méthodes ont besoin tout d'abord de l'implantation d'un maillage



Un point est repéré par:  $m\Delta x, n\Delta y$ , soit en abrégé:  $(m,n)$

Chaque point  $(m,n)$  représente un domaine et sa température est représentative de la température moyenne du domaine

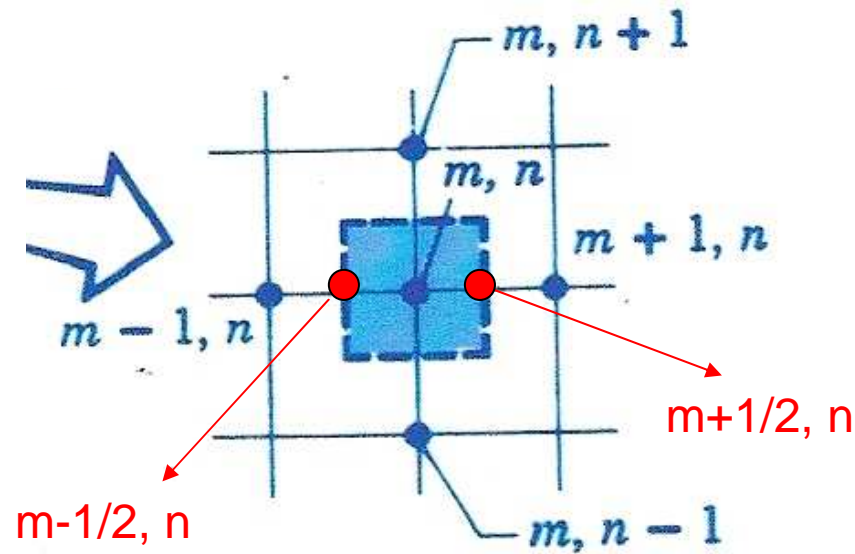


## II – 2 Les techniques des différences finies

Elles résultent d'une approche mathématique (développement limité) de l'équation aux dérivées partielles de la chaleur.

Nous travaillerons en 2D, en supposant la conductivité thermique  $\lambda$  uniforme et indépendante de la température

$$\frac{\partial^2 T}{\partial x^2} + \frac{\partial^2 T}{\partial y^2} + \frac{\dot{q}}{\lambda} = 0$$



Au premier ordre près:

$$\left(\frac{\partial T}{\partial x}\right)_{m+1/2,n} \approx \frac{T_{m+1,n} - T_{m,n}}{\Delta x}$$

$$\left(\frac{\partial T}{\partial x}\right)_{m-1/2,n} \approx \frac{T_{m,n} - T_{m-1,n}}{\Delta x}$$

D'où :

$$\left(\frac{\partial^2 T}{\partial x^2}\right)_{m,n} \approx \frac{\left(\frac{\partial T}{\partial x}\right)_{m+1/2,n} - \left(\frac{\partial T}{\partial x}\right)_{m-1/2,n}}{\Delta x}$$

$$\approx \frac{T_{m+1,n} + T_{m-1,n} - 2T_{m,n}}{(\Delta x)^2}$$

Un raisonnement analogue conduit à :


$$\left( \frac{\partial^2 T}{\partial y^2} \right)_{m,n} \approx \frac{T_{m,n+1} + T_{m,n-1} - 2T_{m,n}}{(\Delta y)^2}$$

Considérons un maillage tel que  $\Delta x = \Delta y$  . Pour tout nœud intérieur du domaine, l'équation discrétisée devient :

$$T_{m+1,n} + T_{m-1,n} + T_{m,n+1} + T_{m,n-1} - 4T_{m,n} + \frac{\dot{q}\Delta x^2}{\lambda} = 0$$

Si de plus  $\dot{q} = 0$  , elle se simplifie selon :

$$T_{m+1,n} + T_{m-1,n} + T_{m,n+1} + T_{m,n-1} - 4T_{m,n} = 0$$

$$\frac{\partial^2 T}{\partial x^2} + \frac{\partial^2 T}{\partial y^2} + \frac{\dot{q}}{\lambda} = 0$$


## Remarque

Dans le cas où le nœud  $(m,n)$  n'est pas un nœud intérieur, mais se situe à la frontière, l'équation est différente.

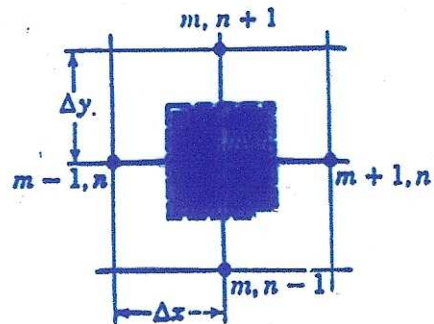
Nous allons la mettre en place avec la **méthode des équations de bilan**. La formulation finale est la même, mais le raisonnement aura un support plus physique.

Les planches suivantes résument les résultats.

# Résumé

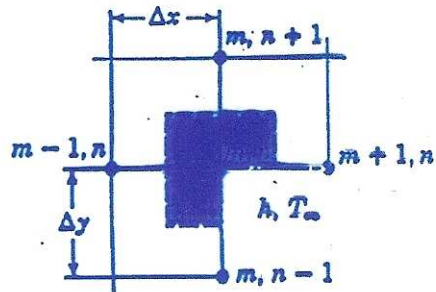
## CONFIGURATION

## EQUATION AUX DIFFERENCES FINIS POUR $\Delta x = \Delta y$



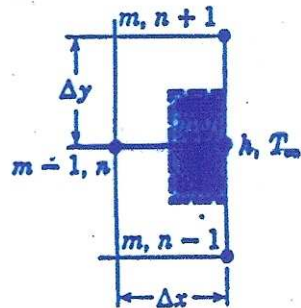
$$T_{m,n+1} + T_{m,n-1} + T_{m+1,n} + T_{m-1,n} - 4T_{m,n} = 0$$

1. noeud intérieur



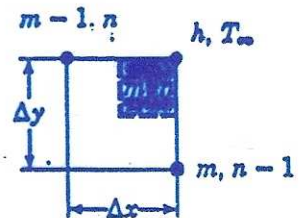
$$2(T_{m-1,n} + T_{m,n+1}) + (T_{m+1,n} + T_{m,n-1}) + 2\frac{h\Delta x}{k}T_{\infty} - 2\left(3 + \frac{h\Delta x}{k}\right)T_{m,n} = 0$$

2. noeud à un coin rentrant avec convection



$$(2T_{m-1,n} + T_{m,n+1} + T_{m,n-1}) + \frac{2h\Delta x}{k}T_{\infty} - 2\left(\frac{h\Delta x}{k} + 2\right)T_{m,n} = 0$$

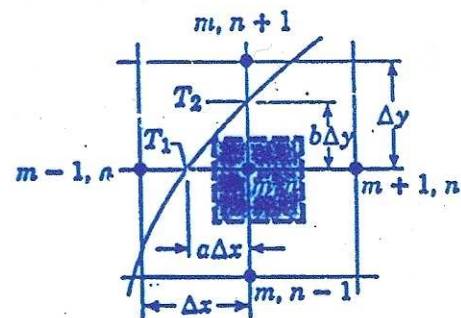
3. noeud à une frontière plane avec convection



$$(T_{m,n-1} + T_{m-1,n}) + 2 \frac{h\Delta x}{k} T_{\infty}$$

$$- 2 \left( \frac{h\Delta x}{k} + 1 \right) T_{m,n} = 0$$

4. noeud à un coin sortant avec convection



$$\frac{2}{a+1} T_{m+1,n} + \frac{2}{b+1} T_{m,n-1}$$

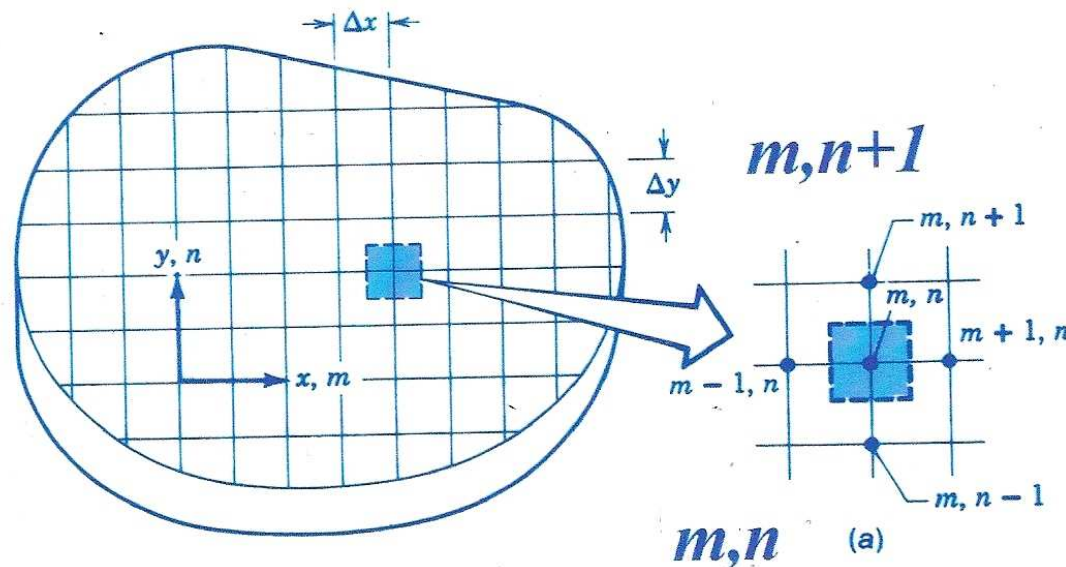
$$+ \frac{2}{a(a+1)} T_1 + \frac{2}{b(b+1)} T_2$$

$$- \left( \frac{2}{a} + \frac{2}{b} \right) T_{m,n} = 0$$

5. noeud près d'une surface courbe maintenue à une température non uniforme

## II – 3 La méthode des équations de bilan

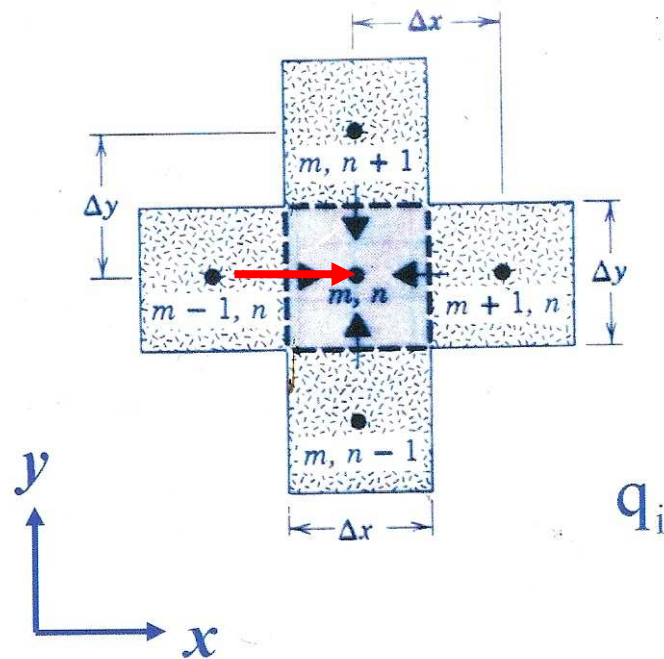
Les équations précédentes aux différences finies peuvent aussi s'obtenir en menant un bilan énergétique sur un noeud



Nous supposons une dimension unitaire en z (3<sup>eme</sup> dimension)

➡ Nous allons évaluer les flux incidents  $q_i$  au nœud (m,n)

## II – 3 -1 Principe



Considérons le nœud  $(m,n)$ . Pour le volume qui lui est associé, la conservation de l'énergie peut s'écrire :

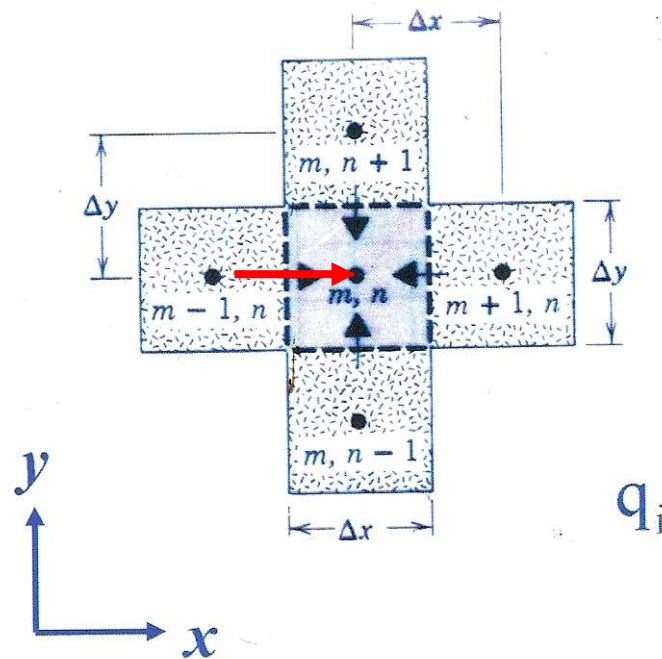
$$\sum_i q_{i \rightarrow (m,n)} = 0$$

**Flux entrant**

où l'indice  $i$  se réfère aux 4 nœuds voisins



## II – 3 -1 Principe



Considérons le nœud  $(m,n)$ . Pour le volume qui lui est associé, la conservation de l'énergie peut s'écrire :

$$\sum_i q_{i \rightarrow (m,n)} = 0$$

**Flux entrant**

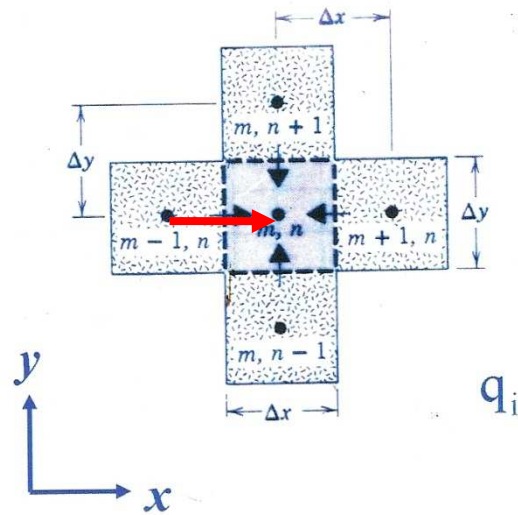
où l'indice  $i$  se réfère aux 4 nœuds voisins

Exemple d'évaluation de flux : de  $(m+1, n)$  vers  $(m,n)$

$$q_{(m-1,n) \rightarrow (m,n)} = -\lambda \underbrace{\Delta y * 1}_{\text{Section de passage}} \frac{\partial T}{\partial x}$$

**Section de passage**

← **Fourier** :  $q_i = -\lambda S \frac{\partial T}{\partial x}$



$$q_{(m-1,n) \rightarrow (m,n)} = -\lambda \Delta y * 1 \frac{\partial T}{\partial x}$$

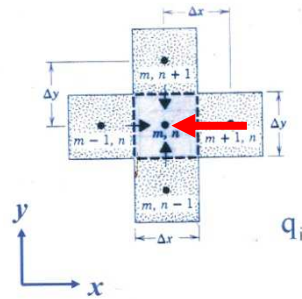
On peut admettre , au premier ordre près:

$$\frac{\partial T}{\partial x} \approx \frac{T_{m,n} - T_{m-1,n}}{\Delta x}$$

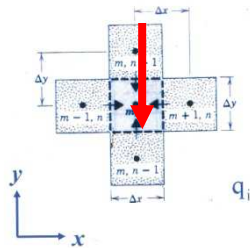
Et donc,

$$q_{(m-1,n) \rightarrow (m,n)} \approx -\lambda \Delta y * 1 \frac{T_{m,n} - T_{m-1,n}}{\Delta x}$$

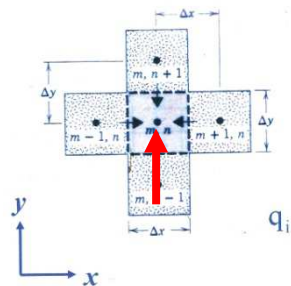
Les échanges avec les 3 autres nœuds voisins s'obtiennent selon le même principe



$$q_{(m+1,n) \rightarrow (m,n)} = \lambda \Delta y * 1 \frac{\partial T}{\partial x} \approx \lambda \Delta y \frac{T_{m+1} - T_m}{\Delta x}$$



$$q_{(m,n+1) \rightarrow (m,n)} = \lambda \Delta x * 1 \frac{\partial T}{\partial y} \approx \lambda \Delta x \frac{T_{m,n+1} - T_{m,n}}{\Delta y}$$



$$q_{(m,n-1) \rightarrow (m,n)} = -\lambda \Delta x * 1 \frac{\partial T}{\partial y} \approx -\lambda \Delta x \frac{T_{m,n} - T_{m,n-1}}{\Delta y}$$

Et donc, l'équation de bilan, sans source s'écrit:

$$\lambda \frac{\Delta y}{\Delta x} (T_{m+1,n} + T_{m-1,n} - 2T_{m,n}) + \lambda \frac{\Delta x}{\Delta y} (T_{m,n+1} + T_{m,n-1} - 2T_{m,n}) = 0$$

Soit, si le maillage est régulier ( $\Delta x = \Delta y$ )

$$T_{m+1,n} + T_{m-1,n} + T_{m,n+1} + T_{m,n-1} - 4T_{m,n} = 0$$

équation analogue à celle correspondante issue  
des différences finies

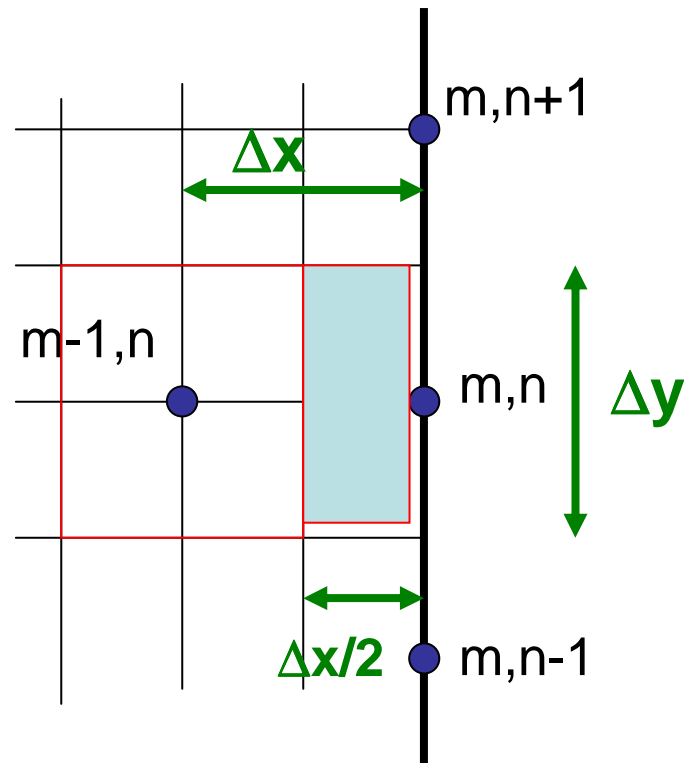
En présence de source, on écrit :

$$\lambda \frac{\Delta y}{\Delta x} (T_{m+1,n} + T_{m-1,n} - 2T_{m,n}) + \lambda \frac{\Delta x}{\Delta y} (T_{m,n+1} + T_{m,n-1} - 2T_{m,n}) + \dot{q} \Delta x \Delta y = 0$$

d'où, dans le cas d'un maillage régulier, une expression analogue à celle que nous avons établie pour les différences finies

$$T_{m+1,n} + T_{m-1,n} + T_{m,n+1} + T_{m,n-1} - 4T_{m,n} + \frac{\dot{q} \Delta x^2}{\lambda} = 0$$

## II – 3 - 2 Application à une frontière adiabatique



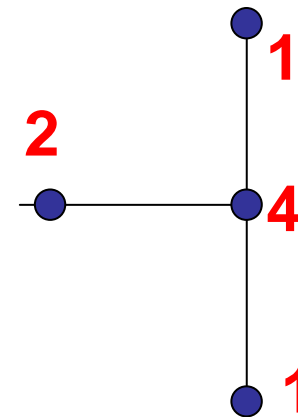
$$q_{(m-1,n) \rightarrow (m,n)} = -\lambda \Delta y * 1 \frac{T_{m,n} - T_{m-1,n}}{\Delta x}$$

$$q_{(m,n-1) \rightarrow (m,n)} = -\lambda \frac{\Delta x}{2} \frac{T_{m,n} - T_{m,n-1}}{\Delta y}$$

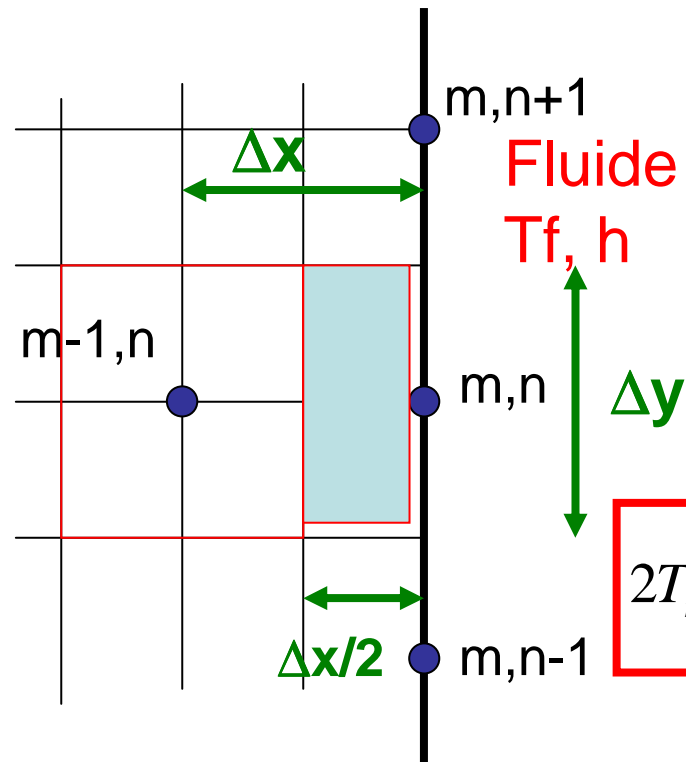
$$q_{(m,n+1) \rightarrow (m,n)} = \lambda \frac{\Delta x}{2} \frac{T_{m,n+1} - T_{m,n}}{\Delta y}$$

Bilan, avec  
 $\Delta x = \Delta y$

$$2T_{m-1,n} + T_{m,n+1} + T_{m,n-1} - 4T_{m,n} = 0$$



## II – 3 – 3 Application à une frontière avec convection

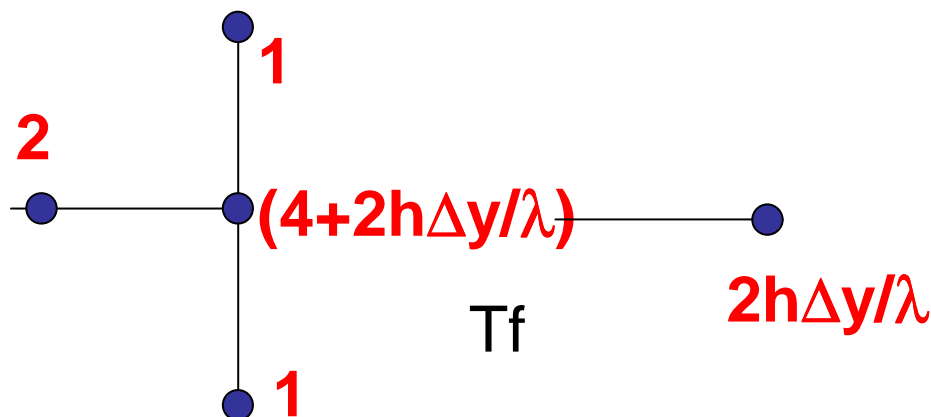


Rajouter le flux entrant  
par convection:

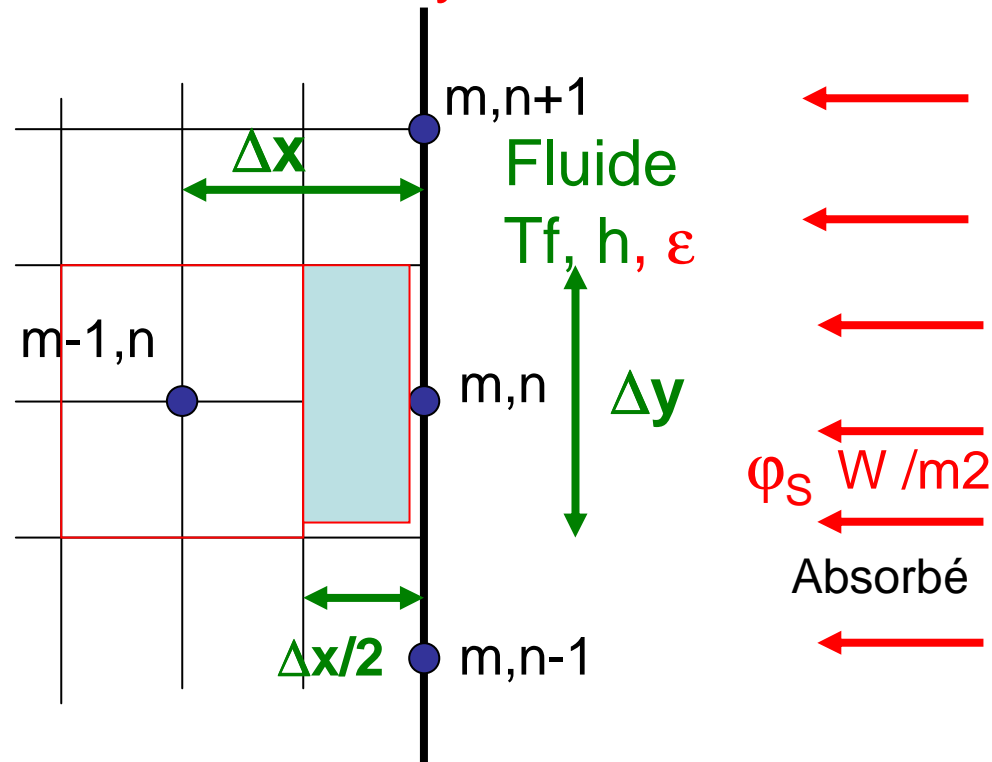
$$q_{T_f \rightarrow (m,n)} = h\Delta y(T_f - T_{m,n})$$

L'équation de bilan devient

$$2T_{m-1,n} + T_{m,n+1} + T_{m,n-1} + \frac{2h\Delta y}{\lambda} - \left( \frac{2h\Delta y}{\lambda} + 4 \right) T_{m,n} = 0$$



## II – 3 - 4 Application à une frontière avec convection, rayonnement et flux imposé



Ici obligatoirement des Kelvins



$$\begin{aligned}
 & -\lambda \Delta y \frac{T_{m,n} - T_{m-1,n}}{\Delta x} \\
 & -\lambda \frac{\Delta x}{2} \frac{T_{m,n} - T_{m,n-1}}{\Delta y} \\
 & \lambda \frac{\Delta x}{2} \frac{T_{m,n+1} - T_{m,n}}{\Delta y} \\
 & + h \Delta y (T_f - T_{m,n}) \\
 & + \varepsilon \Delta y \sigma (T_f^4 - T_{m,n}^4) \\
 & + \Delta y \varphi_s = 0
 \end{aligned}$$



## II -3 - 5 Comment achever la résolution ?

On obtient, dans tous les cas, des systèmes algébriques, où le nombre d'inconnues est le nombre de nœuds du maillage.

Les méthodes de résolution de tels systèmes sont classiques:

- Gauss Seidel (itérative)

- Inversion de matrice en cas de petite taille...

En présence de rayonnement aux frontières, utiliser par exemple Newton Raphson (non linéaire)